

( II - 34 ) 流速修正法による非圧縮粘性流れの解析

中央大学	学生員	白井信
中央大学	正員	川原睦人
中央大学	正員	中山司

### 1.はじめに

有限要素法を用いて非圧縮粘性流れを解析する場合、一般に流速に対する形狀関数は圧力に対する形狀関数よりも一次高いものでなければならず、もし同じ次數の形狀関数を用いると、いわゆるcheckerboard状の圧力振動が発生することが知られている。しかし、これはNavier-Stokes方程式と連続の方程式を同時に解く場合であり、fractional-step法と呼ばれる多段解法についてはまだ定説が定まらないのが現状である。

そこで本論文では、流速と圧力に対し一次の形狀関数を用いることとし、fractional-step法の一つである流速修正法について圧力振動を調べてみた。解析のアルゴリズムと境界条件の与え方を変えることによって七種類の解法を考え、それらを比較検討した結果を報告する。

### 2.基礎方程式と解法

図-1に示す二次元の急拡大水路内の流れを考える。このときの、流体運動の支配方程式は次式で与えられる。

表-1 流速修正法のアルゴリズムと境界条件

方法①		方法②		方法③		方法④		方法⑤		方法⑥		方法⑦	
圧力補正項による流速修正法				圧力を圧力補正項より求める方法				圧力をボアソン方程式より求める方法				圧力による流速修正法	
ア ル ゴ リ ズ ム	① 次式より $\tilde{u}_i$ を求める。 $\tilde{u}_i = u_i^n - \alpha t (u_j^n u_{i,j}^n + \frac{1}{\rho} p_{i,i}^n - \nu (u_{i,j}^n + u_{j,i}^n)_{,j}) \quad (1)$	② 次式より $\phi$ を求める。 $\phi_{i,i} = -\tilde{u}_{i,i} \quad (2)$	③ 次式より $u_i^{n+1}$ を求める。 $u_i^{n+1} = \tilde{u}_i + \phi_i \quad (3)$	④ 次式より $p^{n+1}$ を求める。 $p^{n+1} = p^n - \frac{\rho}{\alpha t} \phi \quad (4a) \quad   \quad p_{xx}^{n+1} + p_{yy}^{n+1} = 2\rho (u_{x,x}^{n+1} u_{y,y}^{n+1} - u_{x,y}^{n+1} u_{y,x}^{n+1}) \quad (4b)$	⑤ $u_i^{n+1}, p^{n+1}$ を $u_i^n, p^n$ として①へ。	① 次式より $\tilde{u}_i$ を求める。 $\tilde{u}_i = u_i^n - \alpha t (u_j^n u_{i,j}^n - \nu (u_{i,j}^n + u_{j,i}^n)_{,j}) \quad (5)$	② 次式より $p^{n+1}$ を求める。 $p_{i,i}^{n+1} = \frac{\rho}{\alpha t} \tilde{u}_{i,i} \quad (6)$	③ 次式より $u_i^{n+1}$ を求める。 $u_i^{n+1} = \tilde{u}_i - \frac{\alpha t}{\rho} p_{i,i}^{n+1} \quad (7)$	④ $u_i^{n+1}$ を $u_i^n$ として①へ。				
境 界 条 件	(1)式での境界条件 $u_i = \dot{u}_i \quad \text{on } S_1 \quad p = 0 \quad \text{on } S_3$ $u_i = 0 \quad \text{on } S_2$	(2)式での境界条件 $u_i = \dot{u}_i \quad \phi = 0 \quad \text{on } S_3$ $u_i = 0 \quad \text{on } S_2 \quad \frac{\partial \phi}{\partial n} = 0 \quad \text{on } S_1, S_2$	(3)式での境界条件 $u_i = \dot{u}_i \quad \text{on } S_1 \quad u_i = 0 \quad \text{on } S_2$	(4)式での境界条件 $\frac{\partial \phi}{\partial n} = 0 \quad \text{on } S_1, S_2$ $\phi = 0 \quad \text{on } S_3$					(5)式での境界条件 $u_i = \dot{u}_i \quad \text{on } S_1$ $u_i = 0 \quad \text{on } S_3$	(6)式での境界条件 $u_i = \dot{u}_i \quad \left. \begin{array}{l} \frac{\partial p}{\partial n} = \nu \frac{\partial^2 V_x}{\partial n^2} \\ \frac{\partial p}{\partial n} = 0 \end{array} \right\} \text{on } S_1 \quad \left. \begin{array}{l} \frac{\partial p}{\partial n} = 0 \\ \frac{\partial p}{\partial n} = \nu \frac{\partial^2 V_y}{\partial n^2} \end{array} \right\} \text{on } S_2$ $u_i = 0 \quad \left. \begin{array}{l} \frac{\partial p}{\partial n} = 0 \\ \frac{\partial p}{\partial n} = 0 \end{array} \right\} \text{on } S_2 \quad \left. \begin{array}{l} \frac{\partial p}{\partial n} = 0 \\ \frac{\partial p}{\partial n} = 0 \end{array} \right\} \text{on } S_3$ $p = 0 \quad \text{on } S_3 \quad p = 0 \quad \text{on } S_3$	(7)式での境界条件 $u_i = \dot{u}_i \quad \text{on } S_1$ $u_i = 0 \quad \text{on } S_3$		
摘要	方法について 圧力を一定として解析			$V_n = u \cdot l + v \cdot m$			$V_n = \tilde{u} \cdot l + \tilde{v} \cdot m$						

$$U_i + U_j U_{i,j} + \frac{1}{\rho} P_i - \nu (U_{i,j} + U_{j,i})_j = 0 \quad (1)$$

$$U_{i,i} = 0 \quad (2)$$

ここに、 $U_i$ は  $x_i$  軸方向の流速成分、 $P$  は圧力を表わし、 $(\cdot)_i = \partial(\cdot)/\partial x_i$ ,  $(\cdot)_{i,j} = \partial^2(\cdot)/\partial x_i \partial x_j$  を意味する。 $\rho$  は密度、 $\nu$  は動粘性係数を表わす。

式(1), (2)を解くためには表-1に示すような三種類のアルゴリズムを考える。さらにそれについて圧力の境界条件の与え方を変えることにより方法①から方法⑦の七種類を組み立て、考察の対象とする。

それぞれの方法では、Galerkin 法を用いる通常の有限要素法により各方程式を離散化する。

### 3. 解析結果

図-2～図-8に、方法④～⑦によつてそれぞれ計算された500step後の等圧線分布を示す。方法②～⑦による計算結果は収束値であるが、方法①による結果は収束せず、振動が生じている。また数値的に見れば、方法②, ⑤, ⑥, ⑦の結果がよい。圧力をボアソン方程式を解いて求める方法③, ④では、等圧線の分布形が他と異なつておつり、境界条件についてさらに検討が必要であると思われる。

各方法についての結果をまとめると、流入境界についての境界条件の物理的意味の明確さ、扱いやすさという点で方法④が最もともぐれていふと考えられる。

### 4. おわりに

流速修正法に属する七つの方法について検討を行つた。今後は、方法④を実際の流れ現象の解析へ応用することを検討していきたい。

### 参考文献

M. Kawahara and K. Ohmiya, "Finite Element Analysis of Density Flow, Using the Velocity Correction Method," Int. J. Num. Meth. Fluids, 5, PP. 981 - 993, 1985.

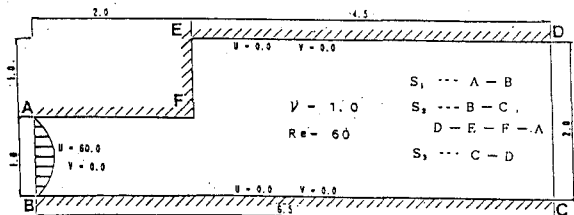


図-1 解析領域図

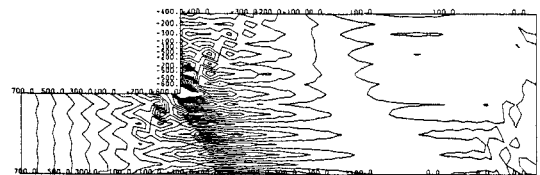


図-2 方法④による解析結果

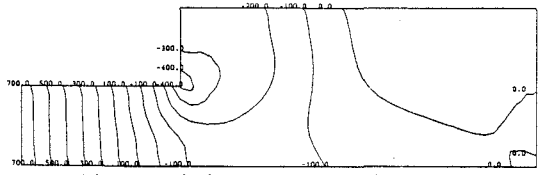


図-3 方法⑤による解析結果

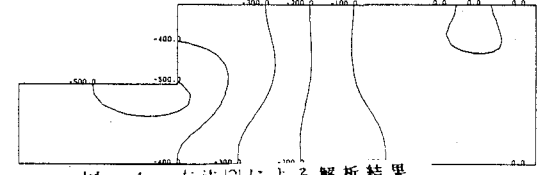


図-4 方法⑥による解析結果

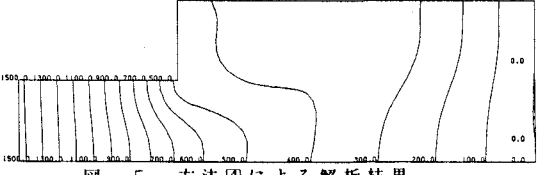


図-5 方法⑦による解析結果



図-6 方法④による解析結果



図-7 方法④による解析結果



図-8 方法⑦による解析結果